

# Robust Guidance Algorithm for Reentry Vehicles based on PLS Regression in the Presence of Initial Parameter Uncertainties

**A.Hoseinzadeh<sup>1</sup>, A.H.Adam<sup>2\*</sup> and A.Ebrahimi<sup>3</sup>**

1, 2, 3. Department of Aerospace University Complex, MalekAshtar University of Technology

\*Postal Code: 1774-15875, Tehran, IRAN

[Aha.aerospace@aut.ac.ir](mailto:Aha.aerospace@aut.ac.ir)

*The atmospheric re-entry phase is one of the most significant mission steps in the space missions; hence, the guidance and control of reentry vehicles in this phase of mission is important. In this article, a reentry vehicle guidance algorithm has been proposed which has suitable robustness in the presence of initial reentry parameters uncertainties. Here, it has been tried to minimize the landing errors at terminal point using Nonlinear Quadratic Tracking (NQT) and chasing a reference trajectory. In order to define several trajectories with different initial states using evolutionary genetic algorithm with changes in weighting matrices  $Q$  and  $R$ , it has been tried to reduce the errors of landing at terminal point. The reentry position of the reentry vehicles may be different from the desired ones with respect to several events. In this situation, reentry vehicles start to move in a new trajectory which is not suitable. Therefore, the reentry vehicles should be guided to come back into the desired trajectory or a new optimum trajectory needs to be redesigned to have the same target position on the ground. To do this, we need optimum weighting matrices  $R$  and  $Q$  for every new trajectory. In this article, this problem has been resolved using partial least squares regression; meanwhile, obtaining the optimal matrices by genetic algorithms needed many times. Also, it is shown that using this method, in the presence of reentry uncertainties, weighting matrices for each new initial condition has been quickly derived. Additionally, through the matrices obtained and the nonlinear quadratic tracking controller, reentry vehicle was directed to the target with a good accuracy. The Monte Carlo analysis has been used to evaluate the performance of the proposed algorithm. According to the results, the proposed algorithm has a suitable accuracy level and it can generate the online optimum trajectory.*

**Keywords:** Re-entry vehicles, Optimal guidance, Robust guidance, Uncertainty, Nonlinear quadratic tracking (NQT), Regression, Partial least squares (PLS)

---

1.M. Sc.

2.Assistant Professor (Corresponding Author)

3.Assistant Professor

# هدایت مقاوم وسایل بازگشت‌پذیر مبتنی بر رگرسیون

## در حضور عدم قطعیت پارامترهای ورود PLS

عاطفه حسینزاده، امیرحسین آدمی\* و اصغر ابراهیمی

۱، ۲ و ۳- مجتمع دانشگاهی هوافضا، دانشگاه صنعتی مالک اشتر

\*تهران، لویزان، کد پستی: ۱۵۸۷۵-۱۷۷۴

Aha.aerospace@aut.ac.ir

هدف این مقاله ارائه یک الگوی هدایت و کنترل بهینه برای وسایل بازگشت‌پذیر است که در برابر عدم قطعیت در پارامترهای ورودی مقاوم باشد. روش‌های مختلفی برای طراحی مسیر بهینه و یا کنترل بهینه وسایل بازگشت‌پذیر ارائه شده است، ولی تعداد کمی قابلیت استفاده بر خط را دارد. روش‌هایی نیز که مدعی دارا بودن قابلیت استفاده بر خط می‌باشند، عموماً از ساده‌سازی و راحلهای نزدیک بهینه درون خود استفاده نموده‌اند. در این مقاله سعی شده است تا با استفاده تلفیقی از روش کنترل بهینه غیرخطی، روش بهینه‌سازی الگوریتم ژنتیک و روش رگرسیون حداقل مربعات جزئی، الگوریتمی بهینه و مقاوم برای وسایل بازگشت‌پذیر ارائه شود که قابلیت استفاده بر خط را داشته باشد. براساس نتایج استخراج شده، نشان داده می‌شود که با استفاده از این روش پیشنهادی، در صورت وجود عدم قطعیت در پارامترهای ورود، ماتریس‌های کنترلی متناسب با هر شرایط اولیه جدید استخراج و با استفاده از روش کنترلی غیرخطی کوادراتیک، وسیله بازگشت‌پذیر با دقت خوبی به سمت هلف هدایت می‌شود. نتایج آنالیز مونت کارلو نشان می‌دهد که خطای برخورد نسبت به کنترل بهینه غیرخطی کلاسیک ۸۸٪ بهبود یافته است.

**واژه‌های کلیدی:** وسایل بازگشت‌پذیر، هدایت بهینه، هدایت مقاوم، عدم قطعیت، کنترل غیرخطی مرتبه دوم، رگرسیون، رگرسیون حداقل مربعات جزئی (PLS)

### علائم و اختصارات

$a_x, a_y, a_z$	مؤلفه‌های شتاب کارتزین	
B	ماتریس ورودی سیستم شامل متغیرهای وضعیت و کنترل سیستم	
$C_D$	ضریب پسا	زاویه حمله
$C_{D_0}$	ضریب پسای مستقل از زاویه حمله و سرش جانی	زاویه سرش جانی
$C_{D_\alpha}$	ضریب پسای واپسنه به زاویه حمله	انحراف معیار
$C_{D_\beta}$	ضریب پسای واپسنه به زاویه سرش جانی	طول جغرافیابی
$C_L$	ضریب برآ	عرض جغرافیابی
$C_{L_\alpha}$	ضریب برآی واپسنه به زاویه حمله	زاویه آزمودت
$C_{L_\beta}$	ضریب برآی واپسنه به زاویه سرش جانی	زاویه مسیر پرواز
D	نیروی پسا	چگالی
DCM	ماتریس کسینوس‌های هادی (ماتریس انتقال)	ماتریس حالت سیستم شامل متغیرهای وضعیت سیستم
$F_x, F_y, F_z$	مؤلفه‌های نیرو در مختصات کارتزین	
g	شتاب جاذبه‌ی زمین	۱. کارشناس ارشد
H	تابع همیلتونین	۲. استادیار (نویسنده مخاطب)
h	ارتفاع از سطح زمین	۳. استادیار

الگوریتم هدایت و کنترل وسایل بازگشت‌پذیر تلاش‌های بسیاری شده است [۱-۳]، ولی مقیدبودن مسئله و نیازمندی‌های مختلف کارایی مانع از ارائه یک الگوریتم کامل و یکتا شده است.

بهینه‌سازی مسیر بازگشت با وجود قیود مختلف، مستلزم استفاده از روش‌های تکرارشونده و عددی است. دو دسته کلی در هدایت و کنترل بهینه‌سازی بازگشت‌پذیر می‌توان درنظر گرفت که عبارتند از: ۱. بهینه‌سازی مسیر با روش‌هایی نظیر پیش‌بینی و تصحیح [۴-۶] یا استفاده از روش‌هایی مستقیم نظیر همنشانی و همواری دیفرانسیلی [۷، ۸]

۲. کنترل بهینه که تمرکز بر استخراج پارامترهای کنترلی مطابق با تابع هزینه در نظر گرفته شده دارد [۹-۱۱]. هر یک از روش‌های فوق دارای نقاط قوت و ضعف مخصوص به خود است. اما، مقایسه روش‌ها از دیدگاه قابلیت استفاده به صورت برخط<sup>۱</sup>، تمرکز بر ساده‌سازی به جای دقت را در دستور کار کلیه روش‌ها و الگوریتم‌ها قرار داده است. براساس این نیازمندی، استفاده از الگوریتم‌ها مبتنی بر ناویگری تنسیبی و مشتقات آن و یا استفاده از کنترل مرتبه دوم بیشتر از دیگران در تحقق این موضوع موفق بوده است. البته، تلاش‌هایی برای چابک نمودن روش‌هایی مستقیم با استفاده از منحنی‌های برازش مختلف و یا همواری دیفرانسیلی نیز انجام شده است که در ادامه به اختصار ارائه می‌شود.

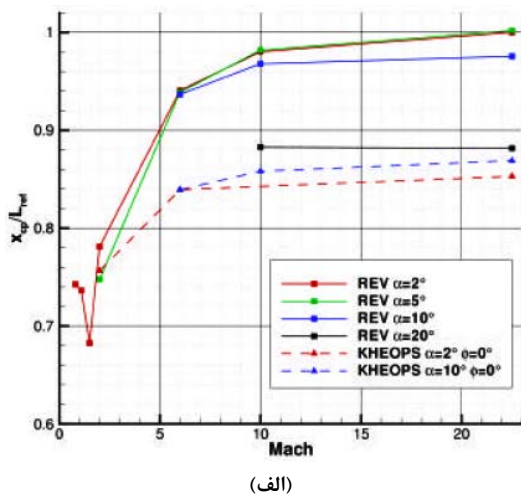
مرجع [۱۲] با استفاده از تئوری اغتشاشات تکین به ارائه یک روش هدایتی بهینه برای اجسام بازگشت‌پذیر پرداخته است. در مرجع [۱۳] بهینه‌سازی مسیر با استفاده از روش مستقیم و با رویکردی جدید انجام پذیرفته است که در این روش از همواری دیفرانسیلی و همنشانی استفاده شده است. مرجع [۱۴] با استفاده از الگوریتم ناویگری تنسیبی و کنترل بهینه، روشی ترکیبی برای هدایت و کنترل وسایل بازگشت‌پذیر ارائه نموده و خطای برخورد در حضور نویز و عدم قطعیت ارزیابی شده است. مرجع [۱۵] به توسعه روش‌های بهینه‌سازی مسیر برای استفاده برخط پرداخته که الگوریتم ارائه شده برای وسایل بازگشت‌پذیر مورد ارزیابی قرار گرفته است.

با وجود همه تلاش‌های صورت گرفته، همچنان بهینه‌سازی مسیر و یا بهینه‌سازی کنترل برای وسایل بازگشت‌پذیر نیازمند تلاش‌های تکرارشونده است. در این مقاله سعی شده است که با افزایش حجم کار برونو خط<sup>۲</sup>، بتوان روشی کاربردی برای استفاده برخط ارائه کرد که توانایی مقابله با عدم قطعیت در پارامترهای ورود (ارتفاع، سرعت و غیره) را داشته باشد.

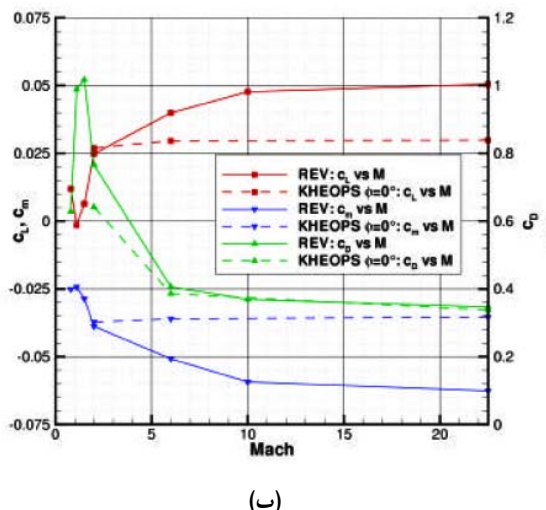
K	ضریب کنترل
L	نیروی برآیندی (بالابرند)
L	تابع هدف لاغرانژ
M	جرم
Mach	عدد ماخ
N	ثابت ناویگری (نرخ ناویگری، نرخ مؤثر ناویگری، ضریب ناویگری) که یک عدد مثبت بی بعد است
P	بردار کمک وضعیت (بردار ضرایب لاغرانژ)
Q	ماتریس وزنی متغیرهای وضعیت
R	ماتریس وزنی متغیرهای کنترل
R <sub>x, R<sub>y, R<sub>z</sub></sub></sub>	فاصله از مرکز زمین
Re	موقعه‌های موقعیت در مختصات کارتزین
S	شعاع زمین
S	سطح مقابله جریان ( $m^2$ )
T	نیروی جانبی
t	زمان
U	بردار کنترل سیستم
V	سرعت جریان هوا
V <sub>x, V<sub>y, V<sub>z</sub></sub></sub>	موقعه‌های سرعت کارتزین
W	نیروی وزن
X(t)	بردار متغیرهای وضعیت سیستم (شامل موقعیت و سرعت)
North-East-Down (NED)	دستگاه افق محلی
Nonlinear Quadratic Controller (NQT)	کنترل غیرخطی کوآدراتیک
linear Quadratic Regulator (LQR)	تنظیم‌کننده مرتبه دوم خطی
Partial Least Squares (PLS)	حداقل مربعات جزیی
Circular Error Probable (CEP)	دایرة احتمالی خطأ

## مقدمه

فاز بازگشت اتمسفریک وسایل فضایی به عنوان یکی از پر چالش‌ترین فازهای هر مأموریت فضایی خصوصاً مأموریت‌های فضایی سرتشنیدار شناخته می‌شود. وجود پدیده‌های ناشناخته و پیچیده در این فاز باعث شده است که مدل‌های خیلی دقیق از رفتار سیستم نیز دارای عدم قطعیت باشد. وجود قیود مختلف حرکتی و محیطی نظیر گرمایش آبرودینامیکی، ضریب بار وارد بر سازه، خطای مجاز فرود و محدودیت زاویه‌ای باعث پیچیده شدن مسئله بهینه‌سازی مسیر برای چنین وسایلی شده است. برای مقاوم‌سازی



(الف)



(ب)

شکل ۲- (الف و ب) نمودارهای تغییرات ضرایب آیرودینامیکی وسیله در زاویه حمله ۲ درجه با عدد ماخ [۶]

جدول ۱- نتایج شبیه‌سازی مسیر بالستیک

برد کل (متر)	برد عرضی (متر)	برد طولی (متر)	زمان پرواز (ثانیه)	سرعت برخورد به زمین (متر بر ثانیه)
۱/۶۹۶۹×۱۰ <sup>۵</sup>	۰	۱/۶۹۶۹×۱۰ <sup>۵</sup>	۱۴۹/۹۰۰	۱۷۲/۸۶۸۴

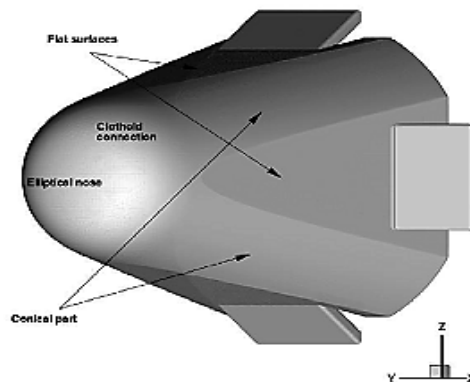
### استخراج معادلات حرکت

انتخاب دستگاه‌های مختصات و توسعه معادلات حرکت نقشی تعیین کننده در کارایی یک الگوریتم هدایتی دارد. در این مقاله از توسعه برداری معادلات حاکم بر حرکت استفاده شده است. نیروهای برآ، پسا و جانبی، نیروهای وارد بر وسیله در دستگاه باد می‌باشند که به صورت زیر به دست می‌آیند:

$$D = \frac{1}{2} \rho V^2 S (C_{D_0} + C_{D_\alpha} \alpha^2 + C_{D_\beta} \beta^2) \quad (3)$$

### معرفی وسیله و مدل دینامیکی مورد استفاده

وسیله بازگشت پذیر مورد بررسی کپسول زیستی اکسپرت<sup>۶</sup> است که مدل ویژه آزمایشی سازمان فضایی اروپاست (شکل ۱).



شکل ۱- شماتیک وسیله بازگشت پذیر اکسپرت [۶]

ضرایب آیرودینامیکی این وسیله مطابق با شکل (۲) در نظر گرفته شده است که در آن به ازای زاویه حمله ۲ درجه، ضرایب  $C_L$  و  $C_D$  نمایش داده شده است.

اطلاعات جرمی، هندسی و آیرودینامیکی وسیله مطابق با رابطه (۱) است. روابط ارائه شده برای ضرایب  $C_L$  و  $C_D$  براساس تقریبی مناسب از نمودار شکل (۲) است [۱۶].

$$\left\{ \begin{array}{l} M = 436 \text{ kg} \\ S = 1.1978 \text{ m}^2 \\ C_{l_\alpha} = ((1.5892^{-3}) \times \log(Mach)) + (1.176^{-2}) \\ \quad C_{l_\beta} = -C_{l_\alpha} \\ C_{D_0} = \begin{cases} (1.7 \times Mach) - 0.662 & Mach < 1 \\ 1.038 \times Mach^{-0.438} & Mach \geq 1 \end{cases} \\ \quad C_{D_\alpha} = 0.001 \\ \quad C_{D_\beta} = C_{D_\alpha} \\ \quad C_L = C_{l_\alpha} \times \alpha \\ \quad C_B = C_{l_\beta} \times \beta \\ \quad C_D = C_{D_0} + C_{D_\alpha} \times \alpha^2 + C_{D_\beta} \times \beta^2 \end{array} \right. \quad (1)$$

مسیری که وسیله بازگشتی به جو در عدم حضور اختشاشات و عدم قطعیت‌ها و بدون اعمال هدایت و کنترل (زاویه حمله و سرش جانبی صفر) طی می‌نماید به عنوان مسیر مرجع در نظر گرفته شده است. شرایط اولیه (پارامترهای اولیه بازگشت) به صورت رابطه (۲) در نظر گرفته شده است:

$$V = 3000 \frac{\text{m}}{\text{s}}, h = 90 \text{ km}, \alpha = 0 \text{ deg}, \beta = 0 \text{ deg} \quad (2)$$

فرضیات در نظر گرفته شده برای شبیه‌سازی مسیر بالستیک عبارتند از: زمین کروی، زمین ثابت (به دلیل کوتاه بودن زمان ورود به جو) و ناوبری ایده‌آل. نتایج شبیه‌سازی حرکت بالستیک وسیله در جدول (۱) خلاصه شده است.

$$\vec{R} = \vec{V} = \frac{\vec{F}_{Inertial}}{m} \quad (15)$$

### طراحی کنترلر غیرخطی کوادراتیک NQT

روش‌های مختلفی برای هدایت و کنترل وسیله بازگشتی وجود دارد. در این مقاله برای کنترل وسیله بازگشتی مورد مطالعه، کنترل غیرخطی کوادراتیک (NQT)<sup>۷</sup> توسعه یافته و از آن برای هدایت بهینه وسیله استفاده می‌شود. قانون کنترلی NQT در نتیجه حل مسئله کنترل بهینه با دو شرط مرزی و فرض تغییرات خطی متغیرهای کمک حالت با متغیرهای حالت سیستم می‌باشد. این فرض در نهایت منجر به تشکیل معادله ماتریسی دیفرانسیلی ریکاتی می‌شود که با حل آن در هر لحظه از زمان، سیگنال کنترلی بهینه تولید می‌شود.

متغیرهای کنترلی سیستم شامل زاویه حمله  $\alpha$  و زاویه سرش  $\beta$  می‌باشند. زاویه حمله برای تنظیم برد طولی جاری وسیله روی برد طولی نامی و زاویه سرش جانبی برای تنظیم برد عرضی جاری روی برد عرضی نامی به کار می‌روند. خطاب عبارتست از اختلاف بین سه مؤلفه بردار موقعیت و سه مؤلفه بردار سرعت مسیر جاری و مسیر مرجع که به صورت زیر محاسبه می‌شود:

$$Error = [r_{x,cur} - r_{x,ref}, r_{y,cur} - r_{y,ref}, r_{z,cur} - r_{z,ref}, v_{x,cur} - v_{x,ref}, v_{y,cur} - v_{y,ref}, v_{z,cur} - v_{z,ref}] \quad (16)$$

فرض می‌کنیم سیستم کنترل شونده به صورت یک سیستم خطی متغیر با زمان به صورت زیر تعریف می‌شود:

$$\dot{X}(t)_{[n \times 1]} = A(t)_{[n \times n]} X(t) + B(t)_{[n \times r]} U(t)_{[r \times 1]} \quad (17)$$

رابطه (۱۷) معادله وضعیت سیستم است که در آن  $X(t)$  بردار متغیرهای وضعیت سیستم،  $A(t)$  ماتریس وضعیت،  $B(t)$  ماتریس کنترل و  $U(t)$  بردار متغیرهای کنترلی سیستم است. برای کنترل مسئله به روش تنظیم یا LQR،تابع معیار به صورت زیر در نظر گرفته می‌شود [۱۷]:

$$J = \frac{1}{2} x^T(t) F(t) x(t) + \frac{1}{2} \int_{t_0}^{t_f} [x^T(t) Q(t) x(t) + u^T(t) R(t) u(t)] dt \quad (18)$$

ماتریس  $R$  و  $Q$  متقابن بوده و  $R > 0$  معین و  $Q \geq 0$  نیمه معین هستند. تابع معیار به صورت رابطه زیر در نظر گرفته می‌شود.

$$J = \int_{t_0}^{t_f} [\|x(t) - r(t)\|^2 \times Q(t) + \|u(t) - U(t) \times R(t)\|^2] dt \quad (19)$$

همان‌طور که مشاهده می‌شود، تابع هدف فوق دارای ترم‌های مربع از مقدار خطای اختلاف متغیرهای وضعیت  $X(t)$  و کنترل  $U(t)$

$$L = \frac{1}{2} \rho V^2 S(C_{L\alpha} \alpha) \quad (4)$$

$$S = \frac{1}{2} \rho V^2 S(C_{L\beta} \beta) \quad (5)$$

بردار نیروهای وارد بر وسیله در دستگاه باد به صورت رابطه (۶) است:

$$F_{Wind} = DCM_{Body2Wind} F_{Body} + \begin{bmatrix} -D \\ S \\ -L \end{bmatrix} \quad (6)$$

حال نیروی وارد بر جسم در دستگاه NED که نیروی وزن می‌باشد با نیروی منتقل شده از دستگاه باد جمع جبری می‌شوند و با استفاده از ماتریس انتقال رابطه (۷) نیروها در دستگاه NED به صورت رابطه (۸) به دست می‌آید.

$$DCM_{Wind2NED} = \begin{bmatrix} \cos(\gamma) \cos(\psi) & -\sin(\psi) & \cos(\psi) \sin(\gamma) \\ \cos(\gamma) \sin(\psi) & \cos(\psi) & \sin(\gamma) \sin(\psi) \\ -\sin(\gamma) & 0 & \cos(\gamma) \end{bmatrix} \quad (7)$$

$$F_{NED} = DCM_{Wind2NED} F_{Wind} + \begin{bmatrix} 0 \\ 0 \\ mg \end{bmatrix} \quad (8)$$

برای محاسبه ماتریس انتقال، به زوایای مسیر پرواز و آزمیوت نیاز است که از روابط (۹) و (۱۰) به دست می‌آیند:

$$\psi = \tan^{-1} \left( \frac{v_{y,NED}}{v_{x,NED}} \right) \quad (9)$$

$$\gamma = \sin^{-1} \left( \frac{-v_{z,NED}}{V} \right) \quad (10)$$

منظور از  $V$  اندازه بردار سرعت می‌باشد.

برای محاسبه برآیند نیروها باید نیروهای محاسبه شده در دستگاه NED را به دستگاه اینرسی منتقل کنیم و در این مرحله نیاز به محاسبه طول و عرض جغرافیایی داریم. از آنجاکه مؤلفه‌های موقعیت در دستگاه اینرسی را در هر لحظه از حرکت جسم داریم، زوایای طول و عرض جغرافیایی توسط روابط (۱۱) و (۱۲) قابل محاسبه هستند.

$$\lambda = \tan^{-1} \left( \frac{R_y}{R_x} \right) \quad (11)$$

$$\varphi = \sin^{-1} \left( \frac{R_z}{R} \right) \quad (12)$$

پس از محاسبه طول و عرض جغرافیایی، ماتریس انتقال از دستگاه NED به دستگاه اینرسی محاسبه شده (رابطه (۱۳)) و سپس از طریق رابطه (۱۴) برآیند نیروها در دستگاه اینرسی را به دست می‌آوریم.

$$DCM_{NED2Inertial} = \begin{bmatrix} -\cos(\lambda) \sin(\varphi) & -\sin(\lambda) & -\cos(\lambda) \cos(\varphi) \\ -\sin(\lambda) \sin(\varphi) & \cos(\lambda) & -\cos(\varphi) \sin(\lambda) \\ \cos(\varphi) & 0 & -\sin(\varphi) \end{bmatrix} \quad (13)$$

$$F_{Inertial} = DCM_{NED2Inertial} F_{NED} \quad (14)$$

و در نهایت معادلات دیفرانسیل حرکت از رابطه (۱۵) محاسبه می‌شوند.

که  $Re$  شعاع زمین و  $g_0$  شتاب گرانش می‌باشد. ماتریس  $B$  به صورت رابطه (۲۵) بازنویسی می‌گردد.

$$B = k_3 \begin{bmatrix} 0 & 0 \\ 0 & 0 \\ 0 & 0 \\ B_1 & B_2 \\ B_3 & B_4 \\ B_5 & B_6 \end{bmatrix}$$

$$B_1 = -\frac{R_y}{R_{xy}}(k_4 cd_\alpha \alpha + k_8) - \frac{R_x}{RI}(k_6 cd_\alpha \alpha - V_{xy} cl_\alpha - R_x R_z R_{xy} RI / k_5 cd_\alpha \alpha + k_{10})$$

$$B_2 = -\frac{R_y}{R_{xy}}(k_4 cd_\beta \beta - k_7) - \frac{R_x}{RI}(k_6 cd_\beta \beta) - \frac{R_x R_z}{R_{xy} RI}(k_5 cd_\beta \beta + k_9)$$

$$B_3 = \frac{R_x}{R_{xy}}(k_4 cd_\alpha \alpha + k_8) - \frac{R_y}{RI}(k_6 cd_\alpha \alpha - V_{xy} cl_\alpha - R_y R_z R_{xy} RI / k_5 cd_\alpha \alpha + k_{10})$$

$$B_4 = \frac{R_x}{R_{xy}}(k_4 cd_\beta \beta - k_7) - \frac{R_y}{RI}(k_6 cd_\beta \beta) - \frac{R_y R_z}{R_{xy} RI}(k_5 cd_\beta \beta + k_9)$$

$$B_5 = \frac{R_{xy}}{RI}(k_5 cd_\alpha \alpha + k_{10}) - \frac{R_z}{RI}(k_6 cd_\alpha \alpha - V_{xy} cl_\alpha)$$

$$B_6 = \frac{R_{xy}}{RI}(k_5 cd_\beta \beta + k_9) - \frac{R_z}{RI}(k_6 cd_\beta \beta)$$

متغیرهای  $k_5$  و  $k_{10}$  که در  $V_{xy}$  و  $k_{10}$   $k_9$   $k_8$   $k_7$   $k_6$   $k_5$   $k_4$   $k_3$  ماتریس  $B$  آمده، بدین صورت تعریف می‌شوند:

$$V_{xy} = \sqrt{V_x^2 + V_y^2}$$

$$k_3 = \frac{\rho VS}{2m}$$

$$k_4 = \left( \frac{V_x R_y}{R_{xy}} - \frac{V_y R_x}{R_{xy}} \right)$$

$$k_5 = \left( \frac{V_x R_x R_z}{R_{xy} RI} - \frac{V_z R_{xy}}{RI} + \frac{V_y R_y R_z}{R_{xy} RI} \right)$$

$$k_6 = \left( \frac{V_x R_x}{RI} + \frac{V_y R_y}{RI} + \frac{V_z R_z}{RI} \right)$$

$$k_7 = k_5 cl_\beta \frac{V}{V_{xy}}$$

$$k_8 = k_4 k_6 \frac{cl_\alpha}{V_{xy}}$$

$$k_9 = k_4 cl_\beta \frac{V}{V_{xy}}$$

$$k_{10} = k_5 k_6 \frac{cl_\alpha}{V_{xy}}$$

در نهایت فرم خطی معادلات غیرخطی حرکت به صورت ذیل خواهد بود:

$$\dot{X} = A(X)X + B(X, U)U \quad (27)$$

جاری با مرجع می‌باشد، به همین دلیل کوآدراتیک<sup>۸</sup> نامیده می‌شود. با حداقل و حداقل‌سازی تابع هدف می‌توان سیگنال کنترلی بهینه را به سیستم هدایت و کنترل ارسال نمود.

با دنبال نمودن اصل کنترل بهینه پونتیریاگین<sup>۹</sup> و با استفاده از حساب تغییرات در نهایت می‌توان جواب بهینه را پیدا کرد [۱۸]:

$$\begin{aligned} \dot{S}(t) + S(t)A(t) + A^T(t)S(t) + Q(t) - \\ S(t)B(t)R^{-1}(t)B^T(t)S(t) = 0 \\ \dot{S}(t) = -S(t)A(t) - A^T(t)S(t) - Q(t) + \\ S(t)B(t)R^{-1}(t)B^T(t)S(t) \end{aligned} \quad (20)$$

مقدار کنترل بهینه را می‌توان از ماتریس  $S$  و یا با تعریف ضریب  $k$  از طریق روابط زیر به دست آورد:

$$k = R^{-1}(t)B^T(t)S(t) \quad (21)$$

$$u(t) = -k(x_T(t) - x(t)) \quad (22)$$

که  $k$  را اصطلاحاً ماتریس فیدبک (پسخور) و یا ضریب کنترل می‌نامند. بنابراین، اگر ماتریس‌های  $A$ ,  $B$ ,  $Q$ ,  $R$  ثابت باشند و زمان به سمت بی‌نهایت میل کند، ماتریس  $k$  نیز ثابت خواهد بود. شاید به همین دلیل است که با ثابت فرض نمودن  $k$  در تمامی طول مسیر مشاهده می‌شود که باز هم برخورد با دقت صورت خواهد گرفت.

برای استفاده از مزایای کنترل بهینه مرتبه دوم باید ماتریس‌های سیستمی  $A$  و  $B$  در حالت غیرخطی به طور مناسب استخراج شوند. با استفاده از نتایج مرجع [۱۸] نهایتاً خواهیم داشت:

$$\begin{aligned} A &= \begin{bmatrix} A_1 & A_2 \\ A_3 & A_4 \end{bmatrix} \\ A_1 &= \begin{bmatrix} 0 & 0 & 0 \\ 0 & 0 & 0 \\ 0 & 0 & 0 \end{bmatrix} \\ A_2 &= \begin{bmatrix} 0 & 0 & 0 \\ 0 & 0 & 0 \\ 0 & 0 & 0 \end{bmatrix} \\ A_3 &= k_1 \begin{bmatrix} 1 & 0 & 0 \\ 0 & 1 & 0 \\ 0 & 0 & 1 \end{bmatrix} \\ A_4 &= \begin{bmatrix} -\frac{1}{R_{xy}^2} \left( R_y^2 RI + \frac{R_x^2 R_z^2}{RI} \right) - \frac{R_z^2}{RI} & k & 0 \\ k & -\frac{1}{R_{xy}^2} \left( R_x^2 RI + \frac{R_x^2 R_z^2}{RI} \right) - \frac{R_z^2}{RI} & 0 \\ 0 & 0 & -\frac{1}{RI} (R_{xy}^2 + R_z^2) \end{bmatrix} \end{aligned} \quad (23)$$

متغیرهای  $k_1$  و  $k$  در ماتریس  $A$  آمده، بدین صورت تعریف می‌شوند:

$$\begin{aligned} R_{xy} &= \sqrt{R_x^2 + R_y^2}, \quad RI = \sqrt{R_x^2 + R_y^2 + R_z^2} \\ k_1 &= -\frac{g_0 Re^2}{RI^3}, \quad k_2 = \frac{\rho VSCD_0}{2m RI} \\ k &= \frac{R_x R_y}{R_{xy}^2} \left( RI - \frac{R_{xy}^2}{RI} - \frac{R_z^2}{RI} \right) \end{aligned} \quad (24)$$

8. Quadratic

9. Pontryagin's Minimum Principle

دیگری قرار داده و با جاگذاری در رابطه رگرسیون، ماتریس ثابتی بهدست آید که با داشتن آن ماتریس، می‌توان پاسخ هر ورودی جدید را محاسبه نمود. بنابراین، شرایط اولیه مسیرهای نمونه در ماتریس ورودی (ماتریس  $X$ ) و به طور مشابه پاسخها را در ماتریس پاسخها (ماتریس  $Y$ ) قرار می‌گیرد. چون ماتریس  $S$  یک ماتریس  $6 \times 6$  است و به صورت بردار نیست، نمی‌توان ماتریس پاسخ را با استفاده از ماتریس  $S$  تشکیل داد. برای رفع این مشکل، به جای ماتریس  $S$ ، از برداری مشکل از درایه‌های قطر اصلی ماتریس‌های وزنی  $R$  و  $Q$  استفاده می‌شود. رابطه رگرسیون خطی به صورت رابطه (۱۸) است:

$$Y_{15 \times 8} = X_{15 \times 6} \beta_{6 \times 8} \quad (28)$$

در رابطه فوق ماتریس  $X$  و  $Y$  به ترتیب ماتریس ورودی و ماتریس پاسخها است. برای استخراج ماتریس  $\beta$  هر دو طرف معادله را از سمت چپ در ترانهاده ماتریس  $X$  ضرب می‌شود، یعنی:

$$X^T Y = X^T X \beta \quad (29)$$

اکنون هر دو طرف معادله را از سمت چپ در معکوس  $X^T X$  ضرب کرده تا ماتریس  $\beta$  بهدست آید.

$$(X^T X)^{-1} X^T Y = (X^T X)^{-1} X^T X \beta \quad (30)$$

ابعاد ماتریس  $\beta$ ،  $8 \times 8$  است. اکنون با استفاده از رابطه (۲۸)، با واردکردن هر بردار شرایط اولیه جدیدی در  $X$ ، بردار پاسخ آن ( $Y$ ) یعنی ماتریس‌های وزنی  $R$  و  $Q$  بهدست می‌آید.

$$Y_{1 \times 8} = X_{1 \times 6} \beta_{6 \times 8}$$

این روش مشکل زمان بر بودن یافتن ماتریس‌های وزنی بهینه از طریق الگوریتم ژنتیک را به صورت خیلی خوبی حل می‌کند. اما، نیاز به افزایش دقت در پاسخها می‌باشد تا نتایج بهتری حاصل شود. در واقع تقریب خطی دقت مناسب را دارا نیست.

۴) در نهایت روش رگرسیون حداقل مربعات جزئی (PLS<sup>۱۰</sup>) مورد آزمایش قرار گرفت. با استفاده از این روش، پاسخها با دقت بسیار خوبی بهدست می‌آیند. روش حداقل مربعات جزئی، روشی در آمار است که برای حل دستگاه معادلاتی به کار می‌رود که تعداد معادله‌هاییش بیش از تعداد مجهول‌هایش است. حداقل مربعات جزئی در واقع روشی برای برآشش<sup>۱۱</sup> داده‌های است. در این روش بهترین مدل برآشش شده بر مجموعه‌ای از داده‌ها، مدلی است که در آن مجموع مربع باقی‌مانده‌ها کمینه باشد. برای استفاده از روش رگرسیون حداقل مربعات جزئی، همان‌طور که توضیح داده شد،

با استخراج ماتریس‌های سیستمی  $A$  و  $B$  باید ماتریس‌های کنترلی  $Q$  و  $R$  نیز مشخص شوند تا بتوان از طریق اطلاعات در دسترس، معادله ریکاتی را در هر لحظه حل نمود. تنظیم دقیق ماتریس‌های  $Q$  و  $R$  از طریق اعمال تغییرات در آنها به نحوی حاصل می‌شود که نسبت این دو ماتریس و ضرایب آنها منجر به بهینه شدن تابع هدف شود. ماتریس‌های  $Q$  و  $R$  با استفاده از روش بهینه‌سازی الگوریتم ژنتیک استخراج می‌شوند.

برای توضیحات بیشتر می‌توان به مرجع [۱۸] مراجعه کرد.

استخراج ماتریس‌های کنترلی  $R$  و  $Q$  وابسته به شرایط ابتدایی و انتهایی مسئله هستند. در اصل برای هر مسئله یک جفت ماتریس کنترلی استخراج خواهد شد. واضح است که ماتریس‌های استخراج شده فقط برای همان مسیر بهینه هستند و در صورت تغییر مسئله (وجود عدم قطعیت) دیگر این جفت ماتریس کنترلی، مسیر بهینه را ارائه نمی‌دهند و باید مجدداً با الگوریتم ژنتیک ماتریس‌های بهینه استخراج شود. همان‌طور که واضح است، این موضوع نیازمند صرف زمان است و قابلیت بر خط بودن را نخواهد داشت. در این مقاله تلاش شده است که روشی برای هدایت بهینه و استخراج مسیر بهینه مربوطه ارائه شود که قابلیت استفاده بر خط را با کمترین ساده‌سازی داشته باشد. برای این منظور از رگرسیون که نوعی درون‌بابی و تخمین چند بعدی است، استفاده می‌شود.

### استخراج روابط مناسب برای مقاوم‌سازی الگوریتم

برای یافتن بهترین مجموعه از ورودی‌ها و خروجی‌ها تلاش زیادی در این پژوهش انجام شده است که خلاصه آن به شرح زیر است:

(۱) در ابتدا ماتریس‌های وزنی بهینه چندین شرایط اولیه مختلف استخراج شد. سپس، برای هر شرایط اولیه جدیدی که بین دو نمونه از شرایط اولیه‌های مفروض قرار داشت، از طریق میانگین‌گیری بین ماتریس‌های وزنی، ماتریس‌های وزنی بهینه مربوط به شرایط اولیه جدید بهدست آمد. این روش منجر به خطای زیاد می‌شود.

(۲) در مرحله بعد، به منظور یافتن رابطه‌ای بین شرایط اولیه و ماتریس  $S$  به ابعاد  $6 \times 6$  تلاش شد. در ابتدا به منظور جمع‌آوری داده‌های اولیه، ماتریس  $S$  بهینه متناظر با هر شرایط اولیه با استفاده از الگوریتم ژنتیک استخراج شد. سپس، رابطه بین تک تک دارایه‌های ماتریس  $S$  (دارای ۳۶ درایه) و تک تک مؤلفه‌های بردار شرایط اولیه از طریق برآشش غیرخطی بهدست آمد. این روش نسبت به روش قبلی خطای کمتری داشت، ولی به پردازش حجم زیادی از اطلاعات نیازمند بود. خطای این روش نیز قابل ملاحظه است.

(۳) در مرحله سوم، روش رگرسیون خطی مورد استفاده قرار گرفت تا رابطه‌ای بین شرایط اولیه و ماتریس  $S$  استخراج شود. در این روش باید داده‌های ورودی را در یک ماتریس و پاسخها را در ماتریس

(۳) اگر معکوس یک ماتریس برابر ترانهاده آن ماتریس شود، آن را ماتریس متعامد می‌نامند. به تعییری  $A$  ماتریس متعامد است، هرگاه:

$$A^{-1} = A' \quad \text{یا} \quad A \cdot A' = A' \cdot A = I \quad (۳۳)$$

ماتریس همانی است.

(۴) هر ماتریس مربعی مانند  $A$  را می‌توان به طور یکتا به شکل زیر نمایش داد:

$$A = \Gamma' \Gamma \Lambda \quad (۳۴)$$

که در آن  $\Gamma$  و  $\Lambda$  به ترتیب ماتریس‌های متعامد و قطری می‌باشند. بنابراین، اگر  $\Gamma$  ماتریسی باشد که ستون‌هایش بردارهای ویژه  $A$  و  $\Lambda$  نیز ماتریسی شامل مقادیر ویژه  $A$  باشد، آنگاه رابطه (۳۴) همچنان برقرار خواهد بود.

(۵) فرض کنید بردار تصادفی  $X = (X_1, X_2, \dots, X_p)$  دارای ماتریس کوواریانس  $\Sigma$  و بردار میانگین  $\mu$  با زوج مقادیر بردار ویژه (مقدار ویژه برابر است با:  $(\lambda_1, e_1), (\lambda_2, e_2), \dots, (\lambda_p, e_p)$ ) باشد، به طوری که:

$$\lambda_1 \geq \lambda_2 \geq \dots \geq \lambda_p \geq 0 \quad (۳۵)$$

$$e'_i e_i = 1 \quad i = 1, 2, \dots, p$$

آنگاه نامین مؤلفه اصلی از رابطه (۳۵) بدست می‌آید:

$$Z_i = e'_i X = e_{1i} X_1 + e_{2i} X_2 + \dots + e_{pi} X_p \quad \forall i \in \{1, 2, \dots, p\} \quad (۳۶)$$

(۶) اگر  $X$  را به صورت ماتریسی درنظر بگیریم که هر سطر آن شامل یک مشاهده<sup>۱۴</sup> روی تمام متغیرهای  $x_i$  باشد و  $Z$  نیز ماتریسی باشد که ستون‌هایش مقادیر مؤلفه‌های اصلی است، آنگاه شکل ماتریسی مؤلفه‌های اصلی به صورت زیر نمایش داده می‌شود:

$$Z = X \Gamma \quad (۳۷)$$

که در آن  $\Gamma$  ماتریس مربوط به بردارهای ویژه<sup>۱۵</sup> است. در این صورت اگر ماتریس شامل مقادیر ویژه<sup>۱۶</sup> را با  $\Lambda$  نمایش دهیم با توجه به نکته ۳ رابطه زیر را خواهیم داشت:

$$\Gamma' \sum \Gamma = \Lambda \quad (۳۸)$$

(۷) نامین ستون  $\Gamma$  را نامین بردار محموله‌های مؤلفه‌های اصلی می‌نامیم. اگر بردار  $z_i$  شامل مقادیر مربوط به نامین مؤلفه اصلی باشد، آنگاه نامین عنصر  $z_i$  را امتیاز مؤلفه اصلی نام روی نامین مشاهده می‌نامیم.

(۸) اختلاف بین مقادیر مشاهده شده و بردار مقادیر برآش داده شده، بردار باقیمانده نامیده می‌شود که به صورت رابطه (۲۹) است:

$$e = Y - \hat{Y} \quad (۳۹)$$

۱۴. مجموعه‌ای است از اعداد که به وسیله سنسورها اندازه‌گیری (مشاهده) شده‌اند. (این اصطلاح در مباحث کنترلی متداول است)

ابتدا باید ماتریس ورودی (ماتریس  $X$ ) شامل بردارهای شرایط اولیه نمونه، و ماتریس پاسخها (ماتریس  $Y$ ) شامل  $R$  و  $Q$  های بهینه مربوط به شرایط اولیه نمونه مشخص شود. ماتریس

$Y_{15 \times 8}$  و  $X_{15 \times 6}$  به صورت زیر هستند:

$$X = \begin{bmatrix} 6471135 & 0 & 0 & -1031.2 & 2833.2 & 0 \\ 6471135 & 0 & 0 & -1020.9 & 2805 & 0 \\ 6465135 & 0 & 0 & -1031.2 & 2833.2 & 0 \\ 6465135 & 0 & 0 & -1020.9 & 2805 & 0 \\ 6471135 & 3000 & 3000 & -1011.1 & 2834.1 & 15 \\ 6471135 & 3000 & 3000 & -1041.1 & 2804.1 & -15 \\ 6465135 & -3000 & -3000 & -1011.1 & 2834.1 & 15 \\ 6465135 & -3000 & -3000 & -1041.1 & 2804.1 & -15 \\ 6468135 & 0 & 3000 & -1031.2 & 2833.2 & 0 \\ 6468135 & 0 & 3000 & -1020.9 & 2805 & 0 \\ 6468135 & 0 & -3000 & -1031.2 & 2833.2 & 0 \\ 6468135 & 0 & -3000 & -1020.9 & 2805 & 0 \\ 6468135 & 0 & 1 & -1031.2 & 2833.2 & 0 \\ 6468135 & 0 & -1 & -1020.9 & 2805 & 0 \\ 6467200 & 0 & 300 & -1021.7 & 2817.1 & 2.7 \end{bmatrix}$$

$$Y = \begin{bmatrix} 2.58 & 8.21 & 6.54 & 19.47 & 12.34 & 18.40 & 478.68 & 97.06 \\ 5.14 & 5.41 & 9.87 & 8.78 & 6.27 & 23.03 & 354.74 & 111.40 \\ 1.76 & 7.54 & 6.22 & 25.52 & 20.16 & 5.08 & 0.73 & 535.29 \\ 5.16 & 8.53 & 5.08 & 14.69 & 20.15 & 27.63 & 588.51 & 12.50 \\ 0.07 & 0.13 & 0.84 & 2.72 & 3.62 & 15.27 & 943.02 & 269.15 \\ 1.24 & 1.35 & 0.34 & 10.48 & 3.14 & 11.25 & 292.12 & 5.61 \\ 0.97 & 0.45 & 0.55 & 0.25 & 0.56 & 9.9 & 581.83 & 54.33 \\ 40.84 & 3.91 & 3.79 & 41.79 & 0.30 & 0.07 & 184.05 & 0.13 \\ 5.74 & 9.10 & 1.08 & 29.71 & 22.66 & 17.8 & 894.16 & 4.73 \\ 6.22 & 7.32 & 2.4 & 18.98 & 13.83 & 23.82 & 616.10 & 12.50 \\ 6.74 & 2.69 & 0.76 & 26.55 & 19.28 & 28.43 & 542.00 & 4.73 \\ 4.24 & 5.75 & 4.26 & 1.19 & 29.71 & 20.22 & 0.63 & 18.87 \\ 1.32 & 6.85 & 3.76 & 7.50 & 3.2 & 12.11 & 0.25 & 1181.29 \\ 3.40 & 9.13 & 4.71 & 15.56 & 17.29 & 16.03 & 227.94 & 547.32 \\ 7.15 & 9.11 & 9.37 & 8.76 & 19.46 & 19.26 & 0.85 & 361.64 \end{bmatrix}$$

اکنون از روش رگرسیون حداقل مربعات جزیی (PLS) استفاده نموده و ماتریس  $\beta$  استخراج می‌شود. با داشتن ماتریس  $\beta$  و از طریق رابطه  $Y = X\beta + e$ ، هر بردار شرایط اولیه جدیدی که در  $X$  قرار داده شود، بردار پاسخ و یا ماتریس‌های وزنی بهینه  $R$  و  $Q$  به سرعت بدست می‌آید.

**الگوریتم اصلی رگرسیون حداقل مربعات جزیی (PLS)** پیش از شرح الگوریتم اصلی رگرسیون حداقل مربعات جزیی<sup>۱۶</sup>، توضیحاتی درباره برخی مباحث آماری مورد نیاز در این الگوریتم به شرح زیر ارائه می‌شود [۱۹]:

(۱) کوواریانس<sup>۱۷</sup> شاخصی است که شدت وابستگی خطی بین دو متغیر را نشان می‌دهد. محاسبه کوواریانس با استفاده از مشاهدات نمونه از رابطه زیر به دست می‌آید:

(۲) اگر معکوس یکماتریس برابر ترانهاده آن ماتریس شود، آن را ماتریس متعامد می‌نامند. به تعییری<sup>۱۸</sup> ماتریس متعامد است، هرگاه:

$$Cov(X, Y) = \frac{\sum(x - \bar{x})(y - \bar{y})}{n-1} = \frac{1}{n-1} [\sum xy - \frac{\sum x \sum y}{n}] \quad (۳۲)$$

که  $\bar{x}$  میانگین داده‌های  $X$  و  $\bar{y}$  میانگین داده‌های  $y$  می‌باشند.

- بین  $E_{a-1}w_a$  و  $f_{a-1}$  تحت شرط  $w'_a w_a = 1$  محاسبه شود.
- (۲) امتیازهای  $z_a$  با استفاده از رابطه  $z_a = E_{a-1}w_a$  محاسبه شود.
- (۳)  $E_{a-1}$  را روی  $z_a$  رگرسیون شود و محموله‌های  $p_a$  با استفاده از رابطه  $p_a = E'_{a-1}z_a/z'_a z_a$  محاسبه شود.
- (۴)  $E_{a-1}$  را روی  $z_a$  رگرسیون کرده و ضرایب  $q_a$  با استفاده از رابطه  $q_a = f'_{a-1}z_a/z'_a z_a$  محاسبه شود.
- (۵)  $E_a$  و  $f_a$  با استفاده از روابط زیر برای به دست آوردن مؤلفه بعد محاسبه شود.

$$E_a = E_{a-1} - z_a p'_a \quad (۴۲)$$

$$f_a = f_{a-1} - z_a q_a \quad (۴۳)$$

با داشتن ماتریس  $\beta$ , هر بردار شرایط اولیه جدیدی در  $X$  قرار داده شود، بردار پاسخ و یا ماتریس‌های وزنی بهینه  $R$  و  $Q$  به سرعت به دست می‌آید. سپس، با داشتن ماتریس‌های  $A, B, R$  و  $Q$  با استفاده از الگوریتم کترل بهینه غیرخطی می‌توان کترل بهینه و مسیر بهینه متناظر آن را استخراج کرد. دقت شود که تمام محاسبات سنگین و پیچیده مربوط به رگرسیون به صورت برون-خط است و تنها عملیات ماتریسی ساده باید به صورت برش-خط مورد استفاده قرار گیرد. بنابراین، قابلیت استفاده بر خط محفوظ مانده است.

## مقایسه روش کنترل غیرخطی و روش رگرسیون حداقل مربعات جزیی (PLS)

در این بخش برای یک شرایط اولیه تصادفی، ماتریس‌های وزنی  $R$  و  $Q$  بهینه را از هر دو روش کنترل بهینه غیرخطی و روش رگرسیون حداقل مربعات جزیی استخراج می‌شود و مسیر با ماتریس‌های بهینه به دست آمده تولید می‌شود. در جدول (۲)، زمان مورد نیاز، تعداد فراخوانی تابع توسط هر روش و خطای برخورد ناشی از هدایت وسیله بازگشتی خلاصه شده است.

جدول ۲- مقایسه روش پیشنهادی و کنترل بهینه غیرخطی

خطای برخورد (متر)	تعداد فراخوانی تابع $^{16}$	زمان (ثانیه)	
۰.۰۷۶۴۱	۲۲۰	۲۴۵۶۹	کنترل غیرخطی
۴/۵۴۹۶۷۷	۱	۱/۵۶۶۵۴۸	PLS

مطابق با نتایج جدول (۲) زمان مورد نیاز در روش اول ۲۴۵۶۹ ثانیه یا به بیان دیگر ۶ ساعت و ۴۹ دقیقه و ۲۹ ثانیه و در روش دوم یعنی رگرسیون حداقل مربعات جزیی یا PLS ۱/۵۶۶۵۴۸ ثانیه است که این مدت زمان،  $۰/۰۰۰۰۶۴$  درصد زمان مورد نیاز در روش کنترل غیرخطی است. همچنین، تعداد فراخوانی تابع در روش اول ۲۲۰ بار و

روش حداقل مربعات جزیی از الگوریتم‌های مختلفی برای تعیین مؤلفه‌ها استفاده می‌کند. اما، همه این الگوریتم‌ها دارای جواب‌های تقریباً یکسانی هستند و تفاوت آنها در نحوه محاسبه مؤلفه‌ها می‌باشد. در این مقاله از الگوریتم اصلی رگرسیون حداقل مربعات جزیی معرفی شده توسط اسوانت ولد<sup>۱۵</sup> و معمولاً الگوریتم SIMPLS نامیده می‌شود، استفاده شده است. این الگوریتم در شبیه‌سازی بسیار مورد استفاده قرار می‌گیرد. زیرا، به علت داشتن محاسبات آسان‌تر نسبت به بقیه الگوریتم‌های رگرسیون حداقل مربعات جزیی از سرعت بیشتری برخوردار است.

فرض می‌کنیم تعداد مؤلفه‌های مورد نیاز برابر  $A$  باشد. با قیمانده‌ها

$$E_0 = X \quad (۴۰)$$

$$f_0 = Y \quad (۴۱)$$

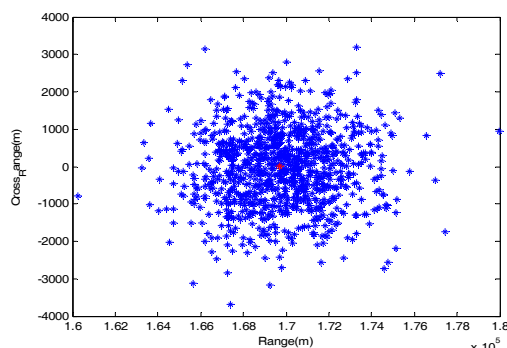
در روش حداقل مربعات جزیی هر مؤلفه با بیشینه کردن کوواریانس بین  $Y$  و همه توابع خطی ممکن  $X$  به دست می‌آید. بنابراین، رگرسیون حداقل مربعات جزیی برخلاف رگرسیون مؤلفه اصلی هم از  $X$  و هم از  $Y$  در تعیین مؤلفه‌ها استفاده می‌کند. این شیوه ساختن مؤلفه‌ها منجر به تولید مؤلفه‌هایی می‌شود که بیشتر از مؤلفه‌های اصلی با تغییرات  $Y$  ارتباط دارند.

جهت اولین مؤلفه رگرسیون حداقل مربعات جزیی با استفاده از بیشینه کردن ملاک کوواریانس بین  $Y$  و تابع خطی از  $X$  به دست می‌آید و با  $W_1$  نشان داده می‌شود. این بردار دارای طول یک است و نخستین بردار محمولة وزنی نامیده می‌شود. در واقع این کار معادل با پیدا کردن بردار  $W_1$  است که مقدار  $W'_1 X' Y$  را تحت شرط  $W'_1 W_1 = 1$  بیشینه کند.

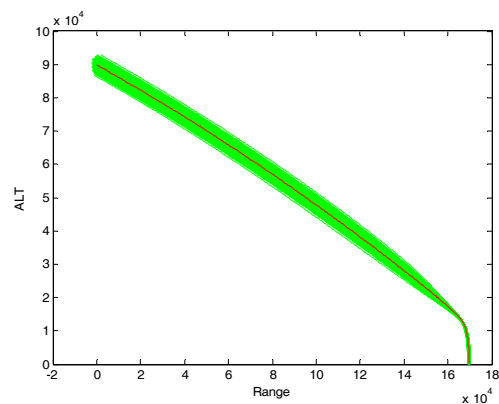
امتیازها در امتداد این بردار با استفاده از ترکیب خطی  $Z_1 = XW_1$  محاسبه می‌شوند. سپس، همه متغیرهای ماتریس  $X$  روی  $Z_1$  رگرسیون می‌شوند و ضرایب این رگرسیون به عنوان عناصر بردار حامل  $p_1$  در نظر گرفته می‌شود. ضریب رگرسیونی  $q_1$  نیز از رگرسیون  $Y$  روی  $Z_1$  به دست خواهد آمد. حال حاصل ضرب  $Z_1 q_1$  از  $X$  و حاصل ضرب  $Z_1 q_1$  از  $Y$  کم می‌شوند و از باقیمانده‌های حاصل يعني  $E_1$  و  $f_1$  به عنوان داده‌های اصلی در ساختن دومین مؤلفه رگرسیون حداقل مربعات جزیی استفاده می‌شود. این روند تا رسیدن به  $A$  مؤلفه ادامه خواهد یافت. مؤلفه‌های  $Z_a$  که با این روش به دست می‌آیند ناهمبسته هستند.

می‌توان مطالب گفته شده برای محاسبه هر مؤلفه را با استفاده از گام‌های زیر نشان داد:

۱) بردار محمولة وزنی  $w_a$  با استفاده از بیشینه کردن کوواریانس

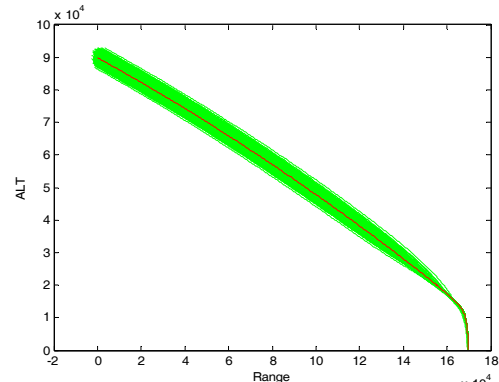


شکل ۴- محدوده برد طولی و عرضی نقاط برخورد وسیله بازگشتی به روش دارت در آنالیز مونت کارلو برای مسیر بالستیک (۱۰۰۰ مسیر)



شکل ۵- نمودار تغییرات ارتفاع بر حسب برد طولی آنالیز مونت کارلو برای مسیر در حضور کنترل NQT با استفاده از یک ماتریس وزنی R و Q برای همه مسیرها (۱۰۰۰ مسیر)

با توجه به نمودار محدوده نقاط برخورد به روش دارت<sup>۱۷</sup> در شکل (۴) مشاهده می‌شود که نقاط برخورد بسیار نزدیک به نقطه هدف می‌باشند. نمودارهای مربوط به شبیه‌سازی با استفاده از رگرسیون در شکل‌های (۶) تا (۱۰) ارائه شده است.

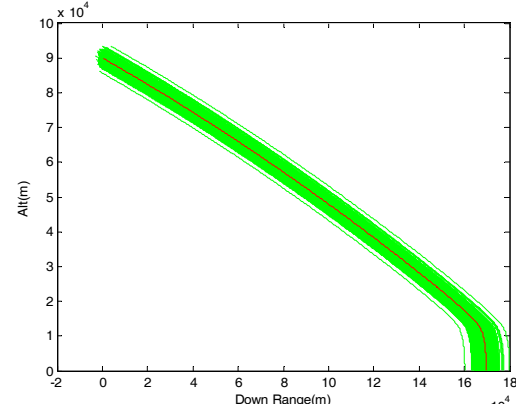


شکل ۶- نمودار تغییرات ارتفاع بر حسب برد طولی در آنالیز مونت کارلو برای مسیر در حضور کنترل NQT و استفاده از رگرسیون برای یافتن ماتریس‌های وزنی R و Q بهینه (۱۰۰۰ مسیر)

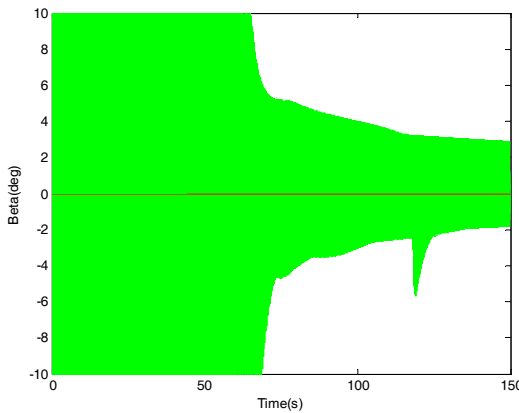
در روش دوم تنها یک بار است. بنابراین، از دیگر مزایای این روش تعداد فراخوانی بسیار کمتر تابع در آن است. در روش کنترل غیرخطی خطای برخورد ۰/۰۰۷۶۴۱ متر و با استفاده از روش رگرسیون حداقل مربعات جزئی PLS خطای برخورد ۴/۵۴۹۶۷۷ متر می‌شود. در هر دو روش خطای برخورد بسیار کم است. اگرچه خطای برخورد در روش دوم کمی بیشتر از روش اول است اما قابل قبول است.

### نتایج آنالیز مونت کارلو برای مسیر در حضور کنترل NQT و استفاده از روش رگرسیون حداقل مربعات جزئی (PLS) برای یافتن ماتریس‌های وزنی R و Q بهینه هر مسیر

همان‌طورکه بیان شد ممکن است به هر دلیلی وسیله بازگشتی هنگام ورود به جو در شرایطی غیر از شرایط اولیه‌ای که برای مسیر مرجع در نظر گرفته شده است، روی رو شود. در این مقاله عدم قطعیت در پارامترهای ورودی به میزان ۳ کیلومتر در مؤلفه‌های موقعیت و ۱۵ متر بر ثانیه در مؤلفه‌های سرعت در نظر گرفته شده است. بدین منظور ابتدا ماتریس‌های وزنی R و Q بهینه را از طریق الگوریتم ژنتیک برای ۱۵ شرط اولیه متفاوت که بیشتر آن‌ها شرایط بحرانی (بیشترین و کمترین اختلاف ارتفاع و برد عرضی و بیشترین و کمترین سرعت و ...) هستند، استخراج می‌شود. سپس، با استفاده از روش رگرسیون حداقل مربعات جزئی، ماتریس‌های کنترلی بهینه هر یک از شرایط ورودی بهدست می‌آید و از آن برای هدایت مسیر استفاده می‌شود. در این قسمت با استفاده از آنالیز مونت کارلو تأثیر این روش هدایت بر روی ۱۰۰۰ مسیر در حضور عدم قطعیت در شرایط ورودی نشان داده خواهد شد. نتایج آنالیز مونت کارلو برای ۱۰۰۰ مسیر بدون کنترل وسیله (حرکت بالستیک) (شکل ۳ و ۴) و ۱۰۰۰ مسیر در حضور کنترل NQT و با استفاده از یک ماتریس R و Q برای همه مسیرها (شکل ۵)، نیز ارائه می‌شود تا با نتایج حرکت وسیله در حضور کنترل پیشنهادی این مقاله مقایسه شود.



شکل ۳- نمودار تغییرات برد طولی نسبت به ارتفاع در آنالیز مونت کارلو برای مسیر بالستیک یا بدون کنترل (۱۰۰۰ مسیر)



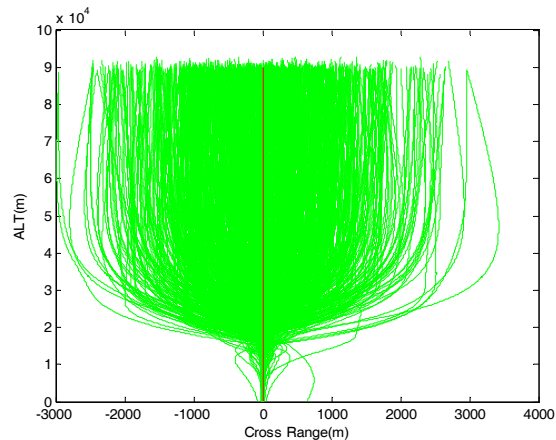
شکل ۱۰- تغییرات زاویه‌ی سرش جانبی بر حسب زمان در آنالیز مونت کارلو

برای مسیر در حضور کنترلر NQT و استفاده از رگرسیون برای یافتن ماتریس‌های وزنی R و Q بهینه هر مسیر (۱۰۰۰ مسیر) نمودارهای زوایای حمله و سرش جانبی (نمودار شکل‌های ۹ و ۱۰) نیز به خوبی به صفر همگرا شده‌اند. خط قرمز و نقطه قرمز در نمودارها مربوط به مسیر مرجع می‌باشد. در جدول ۳، نتایج آنالیز مونت کارلو با وجود عدم قطعیت در پارامترهای ورود ارائه شده است.

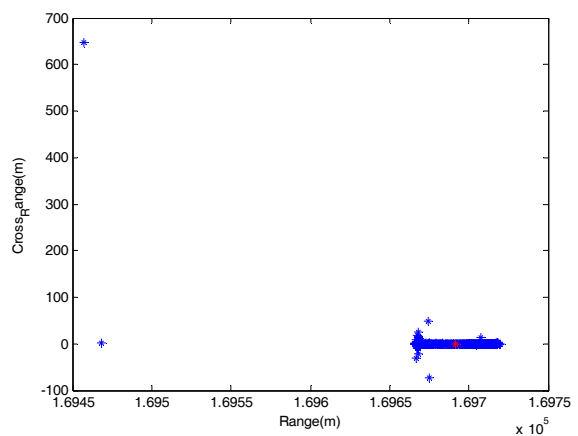
جدول ۳- جمع‌بندی نتایج آنالیز مونت کارلو برای ۱۰۰۰ مسیر

خطای بروخورد (CEP) (متر)	خطای بروخورد (۳σ) (متر)	نوع هدایت
۱۸۹۸/۸	۷۶۱۱/۸	مسیر بالستیک (بدون کنترل)
۲۰۳/۳۷۱۴	۷۷۸/۶۴۹۶	کنترل به روش NQT با استفاده از یک R و Q بهینه برای همه مسیرها
۱۳/۷۲۰۷	۹۲/۴۷۷۲	کنترل به روش NQT و با استفاده از رگرسیون PLS برای یافتن R و Q بهینه هر مسیر

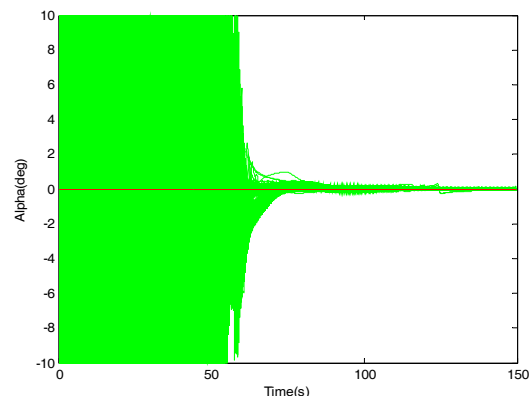
مطابق نتایج استخراج شده از جدول ۳، سه سیگمای خطای بروخورد مسیر بالستیک بدون کنترل، ۷۶۱۱/۸ متر است و سه سیگمای خطای بروخورد مسیرهایی که از طریق کنترل غیرخطی کوادراتیک NQT که با استفاده از یک ماتریس وزنی R و یک ماتریس وزنی Q برای همه مسیرها هدایت شده‌اند، ۷۷۸/۶۴۹۶ متر می‌باشد. بنابراین، کنترل غیرخطی کوادراتیک NQT با استفاده از یک ماتریس وزنی R و یک ماتریس وزنی



شکل ۷- تغییرات ارتفاع بر حسب برد عرضی در آنالیز مونت کارلو برای مسیر در حضور کنترلر NQT و استفاده از رگرسیون برای یافتن ماتریس‌های وزنی R و Q بهینه هر مسیر (۱۰۰۰ مسیر)



شکل ۸- محدوده‌ی برد طولی و عرضی نقاط بروخورد وسیله بازگشتی به روش دارت در آنالیز مونت کارلو برای مسیر در حضور کنترلر NQT و استفاده از رگرسیون برای یافتن ماتریس‌های وزنی R و Q بهینه هر مسیر (۱۰۰۰ مسیر)



شکل ۹- نمودار تغییرات زاویه‌ی حمله بر حسب زمان در آنالیز مونت کارلو برای مسیر در حضور کنترلر NQT و استفاده از رگرسیون برای یافتن ماتریس‌های وزنی R و Q بهینه هر مسیر (۱۰۰۰ مسیر)

- [2] Halbe, O., Raja, R.S. Radhakant Padhi, G., "Robust Reentry Guidance of a Reusable Launch Vehicle Using Model Predictive Static Programming," *Journal of Guidance, Control, and Dynamics*, Vol. 37, No. 1, 2014, pp. 134-148.
- [3] Sun, Z, Liao, X. H., Stewart, F., Li, Bin and Song, Y. D., "Neuro-Robust Reentry Path Control of Reusable Launch Vehicles," *International Journal of Computational Intelligence Research*, Vol. 2, No. 1, 2006, pp. 76-80.
- [4] Lu, P., "Predictor-Corrector Entry Guidance for Low-Lifting Vehicles," *Journal of Guidance, Control, and Dynamics*, Vol. 31, No. 4, July–August 2008.
- [5] Ashok Joshi, K., Sivan, S. and Amma, S., "Predictor-Corrector Reentry Guidance Algorithm with Path Constraints for Atmospheric Entry Vehicles," *Journal of Guidance, Control, and Dynamics*, Vol. 30, No. 5, September–October 2007.
- [6] Xue, S. and Lu, P., "Constrained Predictor-Corrector Entry Guidance," *AIAA Guidance, Navigation, and Control Conference*, 10-13 August 2009, Chicago, Illinois, AIAA 2009-5767.
- [7] Morio, V., Cazaurang, F. and Vernis, Ph., "Flatness-based Hypersonic Reentry Guidance of a Lifting-body Vehicle," *Control Engineering Practice*, Vol. 17, 2009, pp. 588–596.
- [8] Poustini, M.J., Esmaelzadeh, R. and Adami, A.H., "A new Approach to Trajectory Optimization Based on Direct Transcription and Differential Flatness," *Acta Astronautica*, Vol. 107, 2015, pp. 1-13.
- [9] Harl, N. and Balakrishnan, S.N., "Reentry Terminal Guidance Through Sliding Mode Control," *Journal of Guidance, Control, and Dynamics*, Vol. 33, No. 1, 2010, pp. 186-199.
- [10] Shaferman, V. and Shima, T., "Linear Quadratic Guidance Laws for Imposing a Terminal Intercept Angle," *Journal of Guidance, Control, and Dynamics*, Vol. 31, No. 5, 2008, pp. 1507-1518.
- [11] Chawla, C., Sarmah, P., Padhi, R., "Suboptimal Reentry Guidance of a Reusable Launch Vehicle using Pitch Plane Maneuver," *Aerospace Science and Technology*, Vol. 14, 2010, pp. 377–386.
- [12] Abbasi, D., "Optimal Reentry Guidance Based on Singular Perturbation," (M.Sc. Thesis), Aerospace Department, Amirkabir University of Technology, Tehran, 2009, (in persian).
- [13] Poustini, M., "Reentry Trajectory Optimization using Direct Method," (M.Sc. Thesis), Aerospace Department, Malek-ashtar University of Technology, Tehran, 2014, (in persian).
- [14] Barghandan, M., Optimal Guidance and Control of Reentry Vehicle using Combined Methods, (M.Sc. Thesis), Aerospace Department, Tehran, Malek-ashtar University of Technology, 2014, (in persian).
- [15] Jamilnia, R., Developing of Combined On-line Trajectory Optimization, (PhD Thesis), Aerospace Department, Tehran, Amirkabir University of Technology, 2012, (in persian).
- [16] Muylaert, j, et al. "Flight Experiments for Hypersonic Vehicle Development Expert," s.l. : RTO AVT Lecture Series on Critical Technologies for Hypersonic Vehicle Developmen, 2004.

Q برای همه مسیرها خطای برخورد را به ۱۰/۲۳ درصد میزان خطا در حالت بدون کنترل کاهش داده است. همچنین طبق جدول ۳، سه سیگمای خطای برخورد برای مسیرهایی که با استفاده از کنترلر غیرخطی کوادراتیک NQT و یافتن ماتریس‌های وزنی بهینه هر مسیر از طریق رگرسیون حداقل مربعات جزیی هدایت شده‌اند، ۹۲/۴۷۷۲ متر می‌باشد. این روش، خطای برخورد را بسیار بیشتر از حالت قبل کاهش داده است. به طوری که با استفاده از این روش، خطای برخورد به ۱/۲۱ درصد میزان خطا در حالت بدون کنترل رسیده است. همچنین مطابق آنچه در جدول (۳) ارائه شده است، با استفاده از روش ترکیبی کنترلر غیرخطی NQT و رگرسیون حداقل (CEP) مربعات جزیی PLS، شعاع دایره احتمالی خطا (۱۳/۷۲۰۷ متر به دست آمده است که با توجه به سرعت بالای پردازش این روش بسیار مناسب است.

## نتیجه‌گیری

در این مقاله با استفاده از روش‌های کنترل بهینه غیرخطی مرتبه دوم، الگوریتم ژنتیک و رگرسیون PLS روشی بهینه برای هدایت وسایل بازگشتپذیر ارائه شد که قابلیت مقابله با عدم قطعیت در پارامترهای ورود را دارا می‌باشد. با استفاده از روش پیشنهادی می‌توان بدون درگیر شدن با محاسبات تکرارشونده عددی، به تخمین سریع ماتریس‌های کنترلی R و Q پرداخت. بنابراین، قابلیت استفاده برخط برای این الگوریتم مقاوم از مهمترین مزیت‌های روش پیشنهادی است. برای اثبات کارایی روش پیشنهادی، با استفاده از آنالیز مونت کارلو، مقایسه‌ای بین نتایج روش‌های مختلف صورت پذیرفت. این مقایسه نشان می‌دهد که روش پیشنهادی در حضور عدم قطعیت‌های ورود، خطای برخورد را نسبت به روش کنترل غیرخطی کلاسیک ۸۸٪ بهبود بخشیده است. این توانمندی از منظر زمان مورد نیاز محاسبات نیز مورد مقایسه قرار گرفت که کاهش شدید مدت زمان مورد نیاز در حدود ۱ ثانیه بسیار امیدبخش است.

## مراجع

- [1] Mooij, E., Mease, K. D. and Benito, J., "Robust Reentry Guidance and Control System Design and Analysis", AIAA Guidance, Navigation and Control Conference and Exhibit, 20 - 23 August 2007, Hilton Head, South Carolina, AIAA 2007-6779.

- Matrixes in the State Space Form," *Journal of Space Sciences and Technology, under Review*, (in persian).
- [19]shahini, A., Partial Least Squares, (M.Sc. Thesis), Mathematics Science Department, Ferdosi University, Mashhad, 2010, (in persian).
- [17]Naidu, D. S., *Optimal Control Systems*, Idaho, USA: CRC Press, 2002.
- [18]hossienzadeh, A., Adami A.H. and Ebrahimi, A. "Nonlinear Optimal Control of Reentry Vehicles Based on Deriving the State and Control Depended Systematic